

# Mathematical Forecasting Methods

## Лекция 15

МФТИ

Весна, 2024

## Напоминание: СР-разложение и разложение Такера

$\underline{\mathbf{X}} \in \mathbb{R}^{I_1 \times I_2 \times \dots \times I_N}$  - тензор  $N$ -ого порядка.

Пусть  $I = \max\{I_1, \dots, I_N\}$ , тогда число элементов  $\underline{\mathbf{X}}$  есть  $O(I^N)$ .

- ▶ Каноническое разложение:

$$\underline{\mathbf{X}} = \sum_{r=1}^R \mathbf{b}_r^{(1)} \circ \mathbf{b}_r^{(2)} \circ \dots \circ \mathbf{b}_r^{(N)} = \llbracket \mathbf{I}; \mathbf{V}^{(1)}, \mathbf{V}^{(2)}, \dots, \mathbf{V}^{(N)} \rrbracket$$

Число элементов разложения:  $O(NIR)$ , где минимальное  $R$  – канонический ранг тензора, причем  $R \leq I^{N-1}$ .

- ▶ Разложение Такера,  $\underline{\mathbf{G}} \in \mathbb{R}^{R_1 \times R_2 \times \dots \times R_N}$  – центральный тензор  $N$ -ого порядка:

$$\underline{\mathbf{X}} = \llbracket \underline{\mathbf{G}}; \mathbf{U}^{(1)}, \dots, \mathbf{U}^{(N)} \rrbracket := \underline{\mathbf{G}} \times_1 \mathbf{U}^{(1)} \times_2 \mathbf{U}^{(2)} \times_3 \dots \times_N \mathbf{U}^{(N)}$$

Число элементов разложения:  $O(NIR + R^N)$ , где  $R = \max\{R_1, \dots, R_N\}$ .

## Напоминание: свёртка тензоров

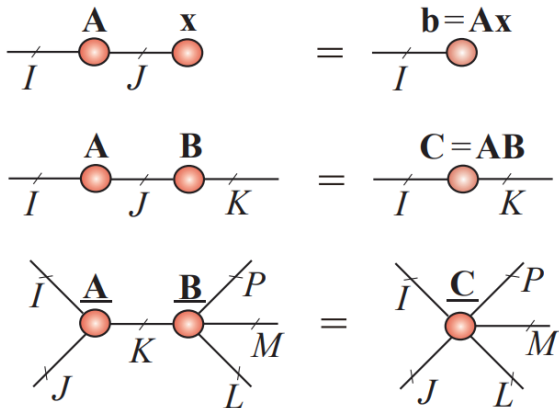
- ▶  $(N, 1)$ -свёртка (contraction) тензоров  $\underline{\mathbf{A}} \in \mathbb{R}^{I_1 \times \dots \times I_N}$  и  $\underline{\mathbf{B}} \in \mathbb{R}^{J_1 \times \dots \times J_M}$ , где обязательно  $I_N = J_1$ , даёт тензор  $\underline{\mathbf{C}} \in \mathbb{R}^{I_1 \times \dots \times I_{N-1} \times J_2 \times \dots \times J_M}$  с элементами:

$$\underline{\mathbf{C}} = \underline{\mathbf{A}} \times_N^1 \underline{\mathbf{B}} = \underline{\mathbf{A}} \times^1 \underline{\mathbf{B}} = \underline{\mathbf{A}} \bullet \underline{\mathbf{B}}$$
$$c_{i_1, \dots, i_{N-1}, j_2, \dots, j_M} = \sum_{i_N=1}^{I_N} a_{i_1, \dots, i_{N-1}, i_N} b_{i_N, j_2, \dots, j_M}$$

Замечания:

- ▶ Свёртку можно осуществлять вдоль произвольных мод исходных тензоров:  $\underline{\mathbf{C}} = \underline{\mathbf{A}} \times_n^m \underline{\mathbf{B}}$ , требование совпадения соответствующих размерностей сохраняется.
- ▶ Свёртку также можно осуществлять по нескольким модам тензоров-участников одновременно: операция определяется двумя упорядоченными наборами индексов мод первого и второго тензоров, с условием совпадения соответствующих размерностей в каждой паре (см. лекцию 10).

# Напоминание: графическое представление тензоров



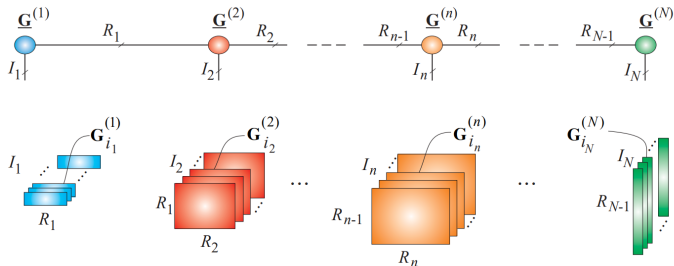
$$\sum_{k=1}^K a_{i,j,k} b_{k,l,m,p} = c_{i,j,l,m,p}$$

# Разложение Tensor Train

- Тензор  $\underline{\mathbf{X}} \in \mathbb{R}^{I_1 \times \dots \times I_N}$  представляется в виде последовательных свёрток тензоров:

$$\underline{\mathbf{X}} = \underline{\mathbf{G}}^{(1)} \times^1 \underline{\mathbf{G}}^{(2)} \times^1 \dots \times^1 \underline{\mathbf{G}}^{(N)} = \underline{\mathbf{G}}^{(1)} \bullet \underline{\mathbf{G}}^{(2)} \bullet \dots \bullet \underline{\mathbf{G}}^{(N)}$$

- $\underline{\mathbf{G}}^{(n)} \in \mathbb{R}^{R_{n-1} \times I_n \times R_n}$ ,  $n \in \overline{1, N}$  – тензоры 3-го порядка.
- Полагаем  $R_0 = R_N = 1$ .
- При этом говорят, что тензор  $\underline{\mathbf{X}}$  представлен в виде ТТ-разложения с ТТ-рангом  $\mathbf{r}_{TT} = \{R_1, \dots, R_{N-1}\}$ .



## Преимущества Tensor Train

- ▶ Число элементов разложения:  $O(NIR^2)$ , где  $R = \max\{R_1, \dots, R_{N-1}\}$ .
- ▶ Удобство применения операций для тензоров в TT-формате, например, сложение:

$$\underline{\mathbf{X}} = \underline{\mathbf{X}}^{(1)} \times^1 \underline{\mathbf{X}}^{(2)} \times^1 \dots \times^1 \underline{\mathbf{X}}^{(N)} \quad (\text{TT-разложение})$$

$$\underline{\mathbf{Y}} = \underline{\mathbf{Y}}^{(1)} \times^1 \underline{\mathbf{Y}}^{(2)} \times^1 \dots \times^1 \underline{\mathbf{Y}}^{(N)} \quad (\text{TT-разложение})$$

$$\underline{\mathbf{Z}} = \underline{\mathbf{X}} + \underline{\mathbf{Y}} = \underline{\mathbf{Z}}^{(1)} \times^1 \underline{\mathbf{Z}}^{(2)} \times^1 \dots \times^1 \underline{\mathbf{Z}}^{(N)}$$

$$\mathbf{r}_{TT}(\underline{\mathbf{Z}}) = \mathbf{r}_{TT}(\underline{\mathbf{X}}) + \mathbf{r}_{TT}(\underline{\mathbf{Y}}), \quad \underline{\mathbf{Z}}^{(n)} \in \mathbb{R}^{(R_{n-1}^X + R_{n-1}^Y) \times I_n \times (R_n^X + R_n^Y)}$$

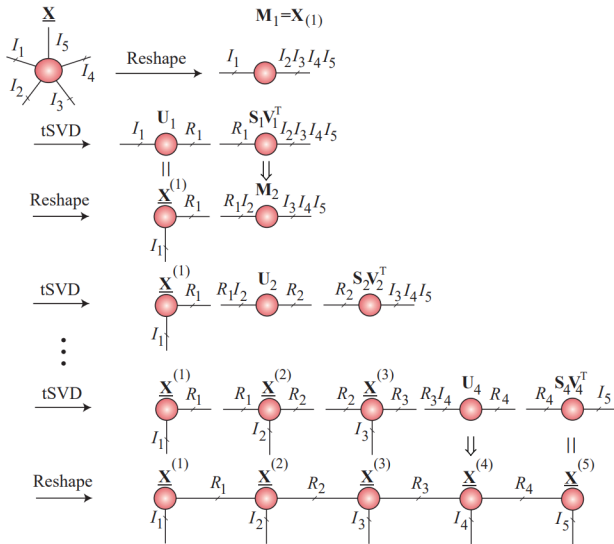
$$\underline{\mathbf{Z}}_{:,i_n,:}^{(n)} = \begin{bmatrix} \underline{\mathbf{X}}_{:,i_n,:}^{(n)} & \mathbf{0} \\ \mathbf{0} & \underline{\mathbf{Y}}_{:,i_n,:}^{(n)} \end{bmatrix}, \quad n \in \overline{2, N-1}$$

$$\underline{\mathbf{Z}}_{:,i_n,:}^{(1)} = \begin{bmatrix} \underline{\mathbf{X}}_{:,i_n,:}^{(1)} & \underline{\mathbf{Y}}_{:,i_n,:}^{(1)} \end{bmatrix}, \quad \underline{\mathbf{Z}}_{:,i_n,:}^{(N)} = \begin{bmatrix} \underline{\mathbf{X}}_{:,i_n,:}^{(N)} \\ \underline{\mathbf{Y}}_{:,i_n,:}^{(N)} \end{bmatrix}$$

# Другие операции в TT-формате

Operation	TT-cores
$\underline{\mathbf{Z}} = \underline{\mathbf{X}} + \underline{\mathbf{Y}} = \left( \underline{\mathbf{X}}^{(1)} \oplus_2 \underline{\mathbf{Y}}^{(1)} \right) \times^1 \left( \underline{\mathbf{X}}^{(2)} \oplus_2 \underline{\mathbf{Y}}^{(2)} \right) \times^1 \dots \times^1 \left( \underline{\mathbf{X}}^{(N)} \oplus_2 \underline{\mathbf{Y}}^{(N)} \right)$	
$\underline{\mathbf{Z}}^{(n)} = \underline{\mathbf{X}}^{(n)} \oplus_2 \underline{\mathbf{Y}}^{(n)}$ , with TT core slices $\mathbf{Z}_{i_n}^{(n)} = \mathbf{X}_{i_n}^{(n)} \oplus \mathbf{Y}_{i_n}^{(n)}$ , $(I_n = J_n = K_n, \forall n)$	
$\underline{\mathbf{Z}} = \underline{\mathbf{X}} \oplus \underline{\mathbf{Y}} = \left( \underline{\mathbf{X}}^{(1)} \oplus \underline{\mathbf{Y}}^{(1)} \right) \times^1 \left( \underline{\mathbf{X}}^{(2)} \oplus \underline{\mathbf{Y}}^{(2)} \right) \times^1 \dots \times^1 \left( \underline{\mathbf{X}}^{(N)} \oplus \underline{\mathbf{Y}}^{(N)} \right)$	
$\underline{\mathbf{Z}} = \underline{\mathbf{X}} \odot \underline{\mathbf{Y}} = \left( \underline{\mathbf{X}}^{(1)} \odot_2 \underline{\mathbf{Y}}^{(1)} \right) \times^1 \left( \underline{\mathbf{X}}^{(2)} \odot_2 \underline{\mathbf{Y}}^{(2)} \right) \times^1 \dots \times^1 \left( \underline{\mathbf{X}}^{(N)} \odot_2 \underline{\mathbf{Y}}^{(N)} \right)$	
$\underline{\mathbf{Z}}^{(n)} = \underline{\mathbf{X}}^{(n)} \odot_2 \underline{\mathbf{Y}}^{(n)}$ , with TT core slices $\mathbf{Z}_{i_n}^{(n)} = \mathbf{X}_{i_n}^{(n)} \otimes \mathbf{Y}_{i_n}^{(n)}$ , $(I_n = J_n = K_n, \forall n)$	
$\underline{\mathbf{Z}} = \underline{\mathbf{X}} \otimes \underline{\mathbf{Y}} = \left( \underline{\mathbf{X}}^{(1)} \otimes \underline{\mathbf{Y}}^{(1)} \right) \times^1 \left( \underline{\mathbf{X}}^{(2)} \otimes \underline{\mathbf{Y}}^{(2)} \right) \times^1 \dots \times^1 \left( \underline{\mathbf{X}}^{(N)} \otimes \underline{\mathbf{Y}}^{(N)} \right)$	
$\underline{\mathbf{Z}}^{(n)} = \underline{\mathbf{X}}^{(n)} \otimes \underline{\mathbf{Y}}^{(n)}$ , with TT core slices $\mathbf{Z}_{k_n}^{(n)} = \mathbf{X}_{i_n}^{(n)} \otimes \mathbf{Y}_{j_n}^{(n)}$ $(k_n = \overline{i_n j_n})$	
$\underline{\mathbf{Z}} = \underline{\mathbf{X}} * \underline{\mathbf{Y}} = \left( \underline{\mathbf{X}}^{(1)} \sqsubset_2 \underline{\mathbf{Y}}^{(1)} \right) \times^1 \dots \times^1 \left( \underline{\mathbf{X}}^{(N)} \sqsubset_2 \underline{\mathbf{Y}}^{(N)} \right)$	
$\underline{\mathbf{Z}}^{(n)} = \underline{\mathbf{X}}^{(n)} \sqsubset_2 \underline{\mathbf{Y}}^{(n)} \in \mathbb{R}^{(R_{n-1}Q_{n-1}) \times (I_n + J_n - 1) \times (R_n Q_n)}$ , with vectors	
$\underline{\mathbf{Z}}^{(n)}(s_{n-1}, :, s_n) = \underline{\mathbf{X}}^{(n)}(r_{n-1}, :, r_n) * \underline{\mathbf{Y}}^{(n)}(q_{n-1}, :, q_n) \in \mathbb{R}^{(I_n + J_n - 1)}$	
for $s_n = 1, 2, \dots, R_n Q_n$ and $n = 1, 2, \dots, N$ , $R_0 = R_N = 1$ .	
$\underline{\mathbf{Z}} = \underline{\mathbf{X}} \times_n \mathbf{A} = \underline{\mathbf{X}}^{(1)} \times^1 \dots \times^1 \underline{\mathbf{X}}^{(n-1)} \times^1 \left( \underline{\mathbf{X}}^{(n)} \times_2 \mathbf{A} \right) \times^1 \underline{\mathbf{X}}^{(n+1)} \times^1 \dots \times^1 \underline{\mathbf{X}}^{(N)}$	

## Алгоритм TT-SVD Decomposition





## Алгоритм TT-SVD Decomposition

**Input:** тензор  $\underline{\mathbf{X}} \in \mathbb{R}^{I_1 \times \dots \times I_N}$  и ошибка аппроксимации  $\varepsilon$ .

**Output:** Приближенное представление тензора в формате ТТ  $\{\underline{\mathbf{G}}^{(n)}\}$ , такое что  $\|\underline{\mathbf{X}} - \hat{\underline{\mathbf{X}}}\|_F \leq \varepsilon$ .

1.  $\mathbf{M}_1 = \underline{\mathbf{X}}_{(1)}$  — развертка по 1-ой моде и  $R_0 = R_N = 1$ .
2. **for**  $n = 1$  **to**  $N - 1$  **do**
3.      $\mathbf{U}^{(n)}, \mathbf{S}^{(n)}, \mathbf{V}^{(n)} = \text{truncated\_SVD}(\mathbf{M}_n, \frac{\varepsilon}{\sqrt{N-1}})$ .
4.      $R_n = \text{rank}(\mathbf{U}^{(n)})$ .
5.      $\underline{\mathbf{G}}^{(n)} = \text{reshape}(\mathbf{U}^{(n)}, [R_{n-1}, I_n, R_n])$  — преобразование в фактор-тензор.
6.      $\mathbf{M}_{n+1} = \text{reshape}(\mathbf{S}^{(n)} \mathbf{V}^{(n)\top}, [R_n I_{n+1}, \prod_{p=n+2}^N I_p])$  — преобразование в матрицу для следующей итерации.
7. **end for**
8.  $\underline{\mathbf{G}}^{(N)} = \text{reshape}(\mathbf{U}^{(N)}, [R_{N-1}, I_N, R_N])$  — преобразование в последний фактор-тензор.
9. **return**  $\hat{\underline{\mathbf{X}}} = \underline{\mathbf{G}}^{(1)} \times^1 \dots \times^1 \underline{\mathbf{G}}^{(N)}$

- ▶ Ранг канонического разложения может быть очень велик, а число элементов в разложении Такера всё ещё имеет показательную зависимость от порядка исходного тензора.
- ▶ Решить эту проблему можно, позволив факторам разложения быть тензорами порядка больше двух.
- ▶ Одно из классических разложений такого типа – разложение Tensor Train с фактор-тензорами 3-его порядка.
- ▶ В Tensor-Train формате удобно осуществлять многие математические операции над тензорами.
- ▶ Алгоритм TT-SVD позволяет приближенно найти TT-разложение исходного тензора.